



بررسی تاثیر تقویت اتصال تیر فولادی به ستون های فولادی پر شده با بتون از نوع بولتهای عبوری با استفاده از ورق ماهیچه ای

خدیجه قنبری صومعه، حسین پروینی ثانی*

گروه مهندسی عمران، واحد زنجان، دانشگاه آزاد اسلامی، زنجان، ایران.

تاریخچه داوری:

دریافت: ۱۳۹۹/۰۷/۲۵

بازنگری: ۱۴۰۰/۰۱/۱۱

پذیرش: ۱۴۰۰/۰۲/۱۲

ارائه آنلاین: ۱۴۰۰/۰۲/۱۴

کلمات کلیدی:

اتصالات در ستون CFT

کمانش موضعی

ورق ماهیچه ای

کرنش پلاستیک

مفصل پلاستیک

خلاصه: تاکنون در مورد ستون های فولادی پر شده با بتون (CFT) و اتصالات آنها تحقیقات فراوانی در کشورهای مختلف انجام شده است و گزینه های متعددی برای اتصالات آنها مطرح شده است، با این وجود اکثر اتصالات گیردار مطرح شده علاوه بر مشکلات اجرایی قابلیت ایجاد شرایط اتصال صلب را نداشته اند. برای قاب های خمشی فولادی که ستون های آنها از نوع CFT است روش های نوین و مناسب دیگری جهت بهبود رفتار اتصالات گیردار آنها پیشنهاد شده است. از جمله آنها استفاده از بولتهای عبوری می باشد، که در این پژوهش به تاثیر تقویت این نوع اتصال با استفاده از ورق ماهیچه ای پرداخته شده است. در این پژوهش متغیر اصلی افزایش ضخامت ورق ماهیچه ای و ضخامت ورق ستون در نظر گرفته شده است. نتایج بدست آمده نشان دادند که با بررسی تشکیل موقیت مفصل پلاستیک می توان گفت که در نمونه بدون ورق ماهیچه ای تقریباً در محل اتصال و بر ستون مفصل پلاستیک و کرنش های ماکریم تشکیل شده است. این در حالی است که در اغلب نمونه های دارای ورق ماهیچه ای، محل تشکیل مفصل پلاستیک در ناحیه خارج از اتصال و تقریباً در فاصله ۲۰ سانتی متری از بر ستون تشکیل شده است. همچنین در مقایسه اتصالات دارای ورق ماهیچه ای با نمونه بدون ورق، به طور متوسط مقدار انرژی جذب شده ۲۲/۶۲ درصد افزایش یافته و از نظر ظرفیت باربری لنگرخشمی نیز به طور متوسط افزایش ۳ درصدی مشاهده می شود. در ضمن افزایش ضخامت ورق ستون در اتصال تقویت شده تأثیر بیشتری در افزایش ظرفیت باربری و جذب انرژی نسبت به افزایش ضخامت ورق ماهیچه ای دارد.

۱- مقدمه

پژوهش بررسی آزمایشی رفتار اتصالات کامپوزیتی ستون به تیر با استفاده از ده اتصال مقیاس بزرگ، چهار نمونه تحت بارگذاری یکنواخت و شش نمونه تحت بارگذاری چرخه ای، انجام شد. نتایج نشان داد که نمونه با اتصال به سطح ستون دارای ظرفیت وارد کردن نیرو از فلنج به خود تیر می باشد و رفتار نسبتاً پایداری از خود نشان می دهد، و همچنین به سطح مناسبی از شکل پذیری نیز می رسد. ووا و همکاران [۱۰ و ۹] در سال ۲۰۰۷ پژوهشی در زمینه رفتار لرزه ای اتصالات پیچ و مهره ای دو طرفه برای ستون های CFT و تیرهای H شکل انجام داده اند. در این پژوهش بتون پر شده موجب کاهش احتمال کمانش لوله به سمت داخل می شود و همچنین اتصالات پیچ و مهره های دو طرفه تیر به ستون برای CFT ها ارائه شده است. نتایج نشان می دهد که مقاومت لرزه ای فراتر از موارد مشخص شده در معیارهای طراحی لرزه ای تایوان و ایالات متحده عمل می کند. بنابراین، اتصالات پیچ و مهره ای دو طرفه دارای مقاومت لرزه ای فوق العاده بوده و این اتصال سازه ای، همان طور که انتظار می رود دارای عملکرد بسیار

طبی وقوع زلزله ها در دو دهه گذشته خسارات اقتصادی و جانی چشمگیری ناشی از فروزیش سازه ها رخ داده است [۱-۳]. از این رو تلاش بسیار گسترده ای توسط محققان برای معرفی سیستم های مقاوم در برابر زلزله انجام شده است. یکی از این سیستم ها، استفاده از ستون های پر شده با بتون (CFT) به دلیل رفتار استاتیکی و مقاومت لرزه ای مناسب آن می باشد [۴]. طی دهه های اخیر مطالعات گسترده ای در زمینه رفتار اتصالات خمشی در ستون های CFT تحت بارگذاری چرخه ای صورت پذیرفته است که موجب ارائه اتصالات نوین و تدوین آینین نامه برای آنها گردیده است [۶ و ۵]. در این پژوهش ها سعی به معرفی نوع تقویت شده از این اتصالات بر مبنای مطالعات پیشین [۷] شده است.

بیوتل و همکاران [۸] در سال ۲۰۰۲ پژوهشی در زمینه رفتار چرخه ای اتصالات ستون لوله ای فولادی پر شده با بتون به تیر انجام داده اند. در این

* نویسنده عهده دار مکاتبات: hossein.parvini_sani@iauz.ac.ir

(Creative Commons License) حقوق مؤلفین به نویسنده ها و حقوق ناشر به انتشارات دانشگاه امیرکبیر داده شده است. این مقاله تحت لیسانس آفرینندگی مردمی (Creative Commons License) در دسترس شما قرار گرفته است. برای جزئیات این لیسانس، از آدرس <https://www.creativecommons.org/licenses/by-nc/4.0/legalcode> دیدن فرمائید.

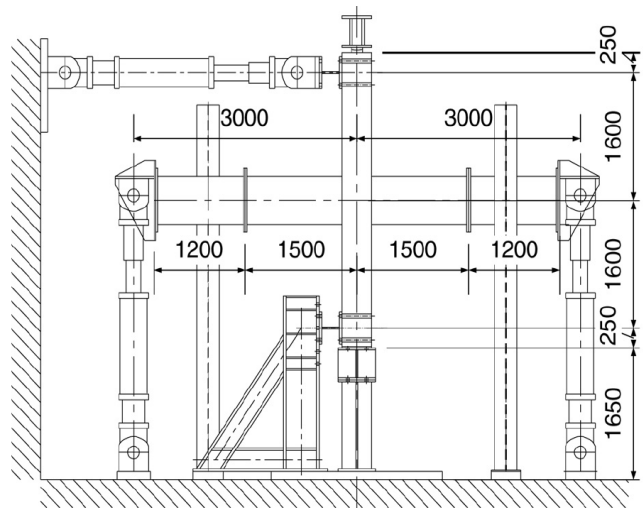


پیشنهادی آن‌ها دارای سختی، مقاومت و شکل‌پذیری مناسب بوده و با قابلیت اتلاف انرژی بالا عملکرد مناسبی به عنوان یک اتصال گیردار را در برای بارهای چرخه‌ای را دارد. فناوری و صادقی مقدم [۱۹] در سال ۲۰۱۹ انجام تست آزمایشگاهی عملکرد اتصال گیردار تیر فولادی سوراخ کاری شده به ستون CFT با سخت کننده‌های T شکل را بررسی نمودند. بررسی آن‌ها نشان داد احتمال شکست کاهش یافته و مود شکست در دو حالت ۱- شکست برشی سخت کننده‌های T شکل افقی و ۲- شکست کششی سخت کننده‌های T شکل عمودی در جان تیر رخ می‌دهد. لی و همکاران [۲۰] در سال ۲۰۱۹ رفتار لرزه‌ای پای ستون گیردار محصور شده ستون‌های CFT را با انجام تست‌های آزمایشگاهی بررسی نموده و مقاومت خمشی آن را با روابط معادل تخمین زند. ژو و همکاران [۲۱] در سال ۲۰۱۹ مدل تحلیلی با دقت مناسب برای اتصال تیرهای فولادی به ستون‌های CFT جهت طراحی این اتصالات بر اساس نتایج آزمایشگاهی را ارائه دارند. پروری و همکاران [۲۲] در سال ۲۰۲۰ با انجام مطالعه عددی و آزمایشگاهی عملکرد اتصال گیردار تیر فولادی سوراخ کاری شده به ستون CFT را بررسی نموده و تاثیر الگوهای مختلف سوراخ کاری و ضخامت بال و جان در تمرکز تنش، مفصل پلاستیک شکل گرفته و چشممه اتصال را ارزیابی نمودند. وانگ و همکاران [۲۳] در سال ۲۰۲۰ با انجام مطالعه تحلیلی و آزمایشگاهی اتصال تقویت شده با لچکی پیش تنیده، تیر فولادی به ستون CFT را بررسی نموده و در نهایت روابط ساده شده برای پیش‌بینی رفتار مکانیکی این اتصال را ارائه دادند.

عطف به نتایج تحقیقات در زمینه اتصالات خمشی در ستون‌های CFT و با وجود پژوهش‌های گسترده صورت گرفته، لازم است مطالعات بر روی اتصالات CFT و قاب‌های کامل آن افزایش یابد [۲۴]. اگر چه ممکن است به دلیل محدودیت‌ها و تجهیزات مورد نیاز آزمایشگاهی و نیز دلایل اقتصادی، انجام تعداد زیاد آزمایشات در مقیاس اصلی عملی نباشد و از طرف دیگر روش المان محدود نیز نتواند تاثیرات زلزله را مخصوصاً تحت زلزله‌هایی که به ندرت رخ می‌دهند به طور کامل شبیه‌سازی نماید، بررسی تحلیلی و آزمایشگاهی بیشتر و دقیق‌تر در این زمینه لازم به نظر می‌رسد [۲۵ و ۲۶]. استفاده از اتصال تیر با بولتهای عبوری یکی از انواع اتصالات با عملکرد مناسب لرزه‌ای به ستون‌های CFT می‌باشد. در مطالعه حاضر در نگاه کلی به بررسی تحلیلی تقویت و مقاومت‌سازی این نوع اتصالات پرداخته شده است. در این راستا به بررسی تاثیر استفاده از ورق تقویتی ماهیچه‌ای در اتصالات تیر فولادی به ستون‌های CFT از بنابراین بولتهای عبوری

خوبی است. ونگ و همکاران [۱۱] در سال ۲۰۰۹ پژوهشی در زمینه رفتار اتصالات ورق انتهایی در ستون‌های لوله‌ای فولادی پر شده با بتون انجام داده‌اند. اتصالات پیچ و مهره‌ای دو سر بسته راه قابل اطمینان و موثری برای سازه‌های دارای ستون‌های CFT است. وانگ و همکاران [۱۲] در سال ۲۰۱۲ در پژوهشی به بررسی آزمایشگاهی مفاصل پلاستیک ورق توسعه یافته ستون‌های لوله‌ای فولادی پر شده با بتون پرداختند. این مطالعات نشان داد که مقاومت و استحکام اتصالات با امتداد مهاری تا پیچ‌های دو سر بسته بهبود یافته و استفاده از ورق‌های انتهایی نسبتاً ضخیم موجب مقاومت بالای مفصل‌های پلاستیک منتهی به اتصالات ورق انتهایی توسعه یافته می‌شود. کوین و همکاران [۱۳] در سال ۲۰۱۴ به مطالعه آزمایشگاهی اتصالات تقویت شده ستون‌های CFT با اسفاده از لچکی‌های جانبی پرداختند و نشان دادند که استفاده از این اتصال با ورق‌های تقویتی با توجه قابلیت استهلاک انرژی بالا و شکل‌پذیری مناسب، می‌تواند در قاب‌های خمشی با شکل‌پذیری متوسط کاربرد داشته باشد. یو و همکاران [۱۴] در سال ۲۰۱۵ پژوهشی در زمینه تاثیر انعطاف‌پذیری فلنج ستون بر تیر بال پهن (WF) ستون‌های کامپوزیتی مختلط (CFST) با مقطع مستطیل انجام داده‌اند. یانگ و همکاران [۱۵] در سال ۲۰۱۵ آزمایشی بر روی لوله فولادی دوجداره پر شده با بتون (CFDST) مریع شکل در معرض نیروی محوری موضعی انجام داده‌اند. ظرفیت‌های حامل CFDST تحت نیروهای حامل موضعی با استفاده از فرمول پیشنهادی این پژوهش و مقایسه با نتایج آزمایش مورد ارزیابی قرار گرفت. وانگ و همکاران [۱۶] در سال ۲۰۱۶ پژوهشی در زمینه تحلیل آزمایشی و عددی اتصالات گیردار پیچ و مهره‌ای یک طرفه به ستون‌های CFT انجام داده‌اند. در این پژوهش تحلیل آزمایشی و عددی برای بررسی رفتار مکانیکی اتصالات ورق انتهایی پیچ و مهره‌ای دو سر بسته ستون‌های لوله‌ای فولادی نازک دیواره پر شده با بتون (CFTST) انجام شد. این اتصالات پیچ و مهره‌ای دو سر بسته خلاقانه پیشنهادی با استفاده از راه حل‌های مطمئن و موثر در ساختمان‌های نیمه بلند و کوتاه کاربرد دارد. زینی زاده جدی و راملی سولانگ [۱۷] در سال ۲۰۱۷ نوع جدید از بولتهای تیوبی برای اتصال تیرها به ستون‌های CFT را پیشنهاد دادند. نمونه‌ی پیشنهادی آن‌ها با توجه به مهار مناسب، مقاومت بالا، عدم لغزش و قابلیت تحمل کرنش‌های زیاد تا آستانه شکست می‌تواند جایگزین اتصال از نوع بولت عبوری باشد.

احمدی و میرقادری [۱۸] در سال ۲۰۱۹ با انجام تست‌های آزمایشگاهی اتصال نواورانه ورق عبوری در ستون‌های CFT را پیشنهاد دادند. اتصال



شکل ۱. نمایی از شرایط مرزی و بارگذاری نمونه آزمایشگاهی [۱۰]

Fig. 1. View of boundary conditions and loading of experimental specimen [10]

مقاومت مصالح مصرفی که در این مطالعه از آنها استفاده شده در جداول ۱ و ۲ نشان داده شده است.

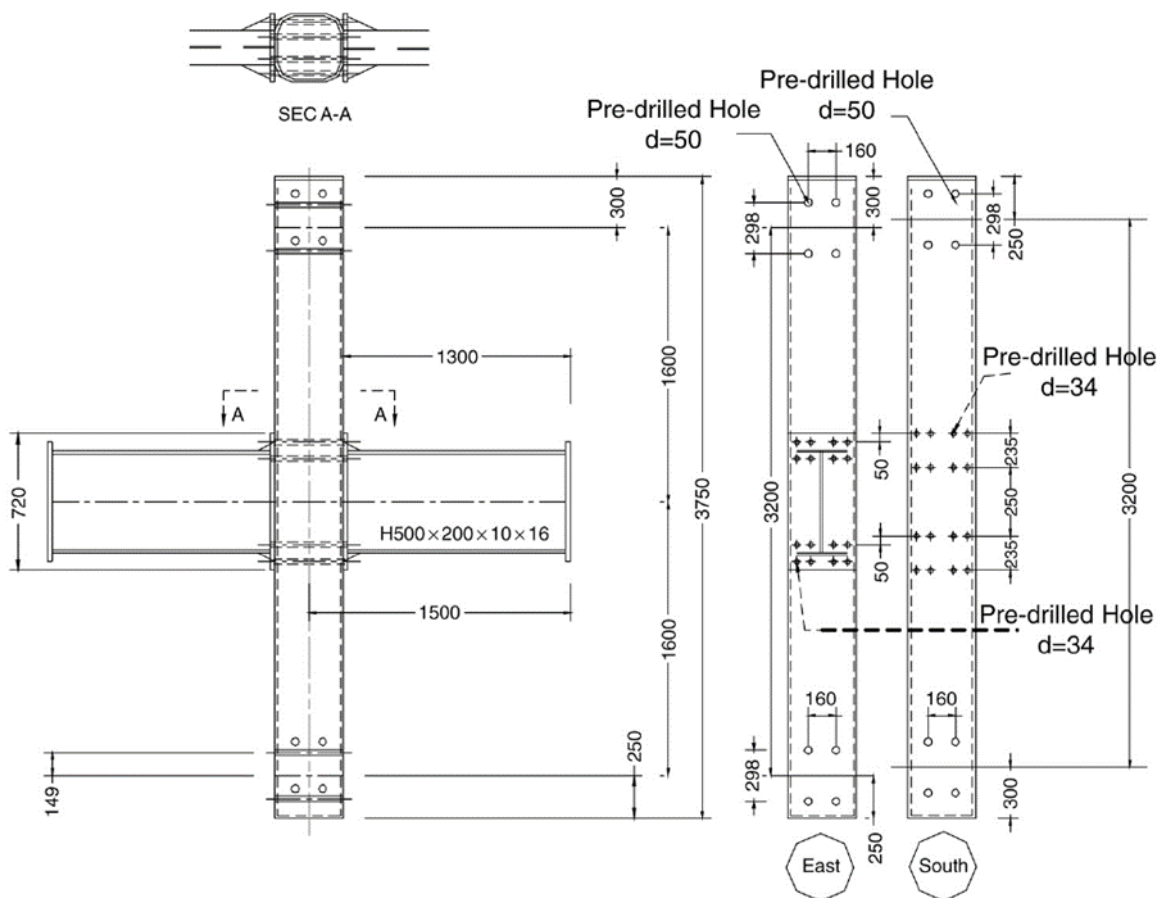
جهت صحت سنجی، یکی از نمونه‌های اتصال (FSB – 8) مطالعه ووآ و همکاران [۱۰] در نرم افزار ABAQUS مطابق شرایط زیر مدل‌سازی گردید. در این نمونه، جهت مدل‌سازی همه المان‌های تیر، لوله فولادی، سخت‌کننده مثلثی، ورق‌های تعریض بال و ورق انتهایی، بولت عبوری و هسته بتنی از المان Solid و هشت گرهی C3D8R استفاده شده است. یکی از معیارهای شکست قابل قبول برای فولاد معیار فون مایسز است که بر اساس نظریه حداکثر انرژی تغییر شکل برشی، توسعه می‌یابد. در این معیار، انرژی الاستیک ذخیره شده در یک ماده به دو بخش تغییرات حجمی ماده و تغییر شکل برشی تقسیم می‌شود. با مساوی قرار دادن انرژی تغییر شکل برشی نقطه تسلیم در یک وضعیت تحت تنش کششی ساده و انرژی تغییر شکل برشی تنش‌های مرکب، معیار تسلیم بر مبنای انرژی تغییر شکل برشی نهاده می‌شود. بنابراین در این مدل برای مدل فولاد، از معیار تسلیم فون مایسز و قانون سخت شدگی ایزوتوپ استفاده شده است. همچنین برای بتون از معیار آسیب دیدگی و خرابی پلاستیک استفاده گردید. در راستای مدل‌سازی جهت اتصال لبه‌های جوش شونده تمامی المان‌ها، به دلیل عدم لزوم بررسی رفتار جوش به صورت میکرو، با فرض حالتی بهینه برای جوش (پیوستگی) کامل و عدم ایجاد گسیختگی در جوش در طول

در قالب متغیرهای ضخامت ورق ماهیچه‌ای و ضخامت ورق ستون پرداخته شده است. هدف اصلی از این متغیرها بdst آوردن میزان تاثیر گذاری ورق ماهیچه‌ای در میزان تنش، کرنش، جذب انرژی، محل مفصل پلاستیک و ظرفیت باربری نمونه‌ها می‌باشد.

۲- صحت سنجی

در سال‌های اخیر روش اجزاء محدود به عنوان یک ابزار قدرتمند برای تحلیل سازه‌ها شناخته شده است. در این تحقیق برای بررسی صحت مدل‌سازی، از اتصال تیر به ستون CFT، ووآ و همکاران [۱۰] استفاده شده است. در شکل ۱ تصویری از شرایط تکیه‌گاهی و نحوه اعمال بار در محیط آزمایشگاهی و در شکل ۲ نیز مشخصات هندسی اتصال نمونه آزمایشگاهی نشان داده شده است.

اتصال مورد اشاره مربوط به سازه‌ای با دهانه ۶ متر و ارتفاع ۳ متر که تحت نیروهای جانبی، تغییر مکان جانبی در سازه رخ داده و فرض می‌شود که نقطه عطف تیر و ستون در وسط دهانه آنها واقع می‌شوند. تیرهای استفاده شده در مطالعه آزمایشگاهی از شکل H با فولاد با گرید A36 و با مقطع H۵۰۰*۲۰۰*۱۰*۱۶ ساخته شده و سپس ورقی با ابعاد PL720mm*400mm*25mm پیچ‌ها از فولاد A490 با قطر ۳۰ میلی‌متر می‌باشند. مقاطع مورد استفاده و



شکل ۲. مشخصات هندسی اتصال مورد آزمایش [۱۰]

Fig. 2. Geometric specifications of the experimental connection [10]

جدول ۱. مشخصات ابعادی نمونه‌ها [۱۰]

Table 1. Dimensional specifications of samples [10]

نمونه‌ها	قطعه ستون (mm)	ضخامت (mm)	B/t
FSB-6	400*400	6	66
FSB-8	400*400	8	50
FSB-10	400*400	10	45
نمونه‌ها	پوشیده با بتن	قطعه تیر (mm)	
FSB-6	بله	H500*200*10*16	
FSB-8	بله	H500*200*10*16	
FSB-10	بله	H500*200*10*16	

جدول ۲. مشخصات متریال‌ها [۱۰]

Table 2. Material specifications [10]

نمونه‌ها	جان تیر			
	s_y Mpa	s_u Mpa	ε_y (%)	ε_u (%)
FSB-6	337.5	427.0	0.19	28.0
FSB-8	337.5	427.0	0.19	28.0
FSB-10	337.5	427.0	0.19	28.0
بال تیر				
نمونه‌ها	s_y Mpa	s_u Mpa	ε_y (%)	ε_u (%)
	303.4	425.8	0.15	36.5
FSB-6	303.4	425.8	0.15	36.5
FSB-8	303.4	425.8	0.15	36.5
FSB-10	303.4	425.8	0.15	36.5
ستون‌ها				
نمونه‌ها	s_y Mpa	s_u Mpa	ε_y (%)	ε_u (%)
	431.0	521.3	0.21	28.75
FSB-6	431.0	521.3	0.21	28.75
FSB-8	381.8	501.6	0.17	28.80
FSB-10	356.5	474.7	0.19	35.30
مقاومت فشاری بتن (مگاپاسکال)				
FSB-6	25.26			
FSB-8	29.29			
FSB-10	27.185			

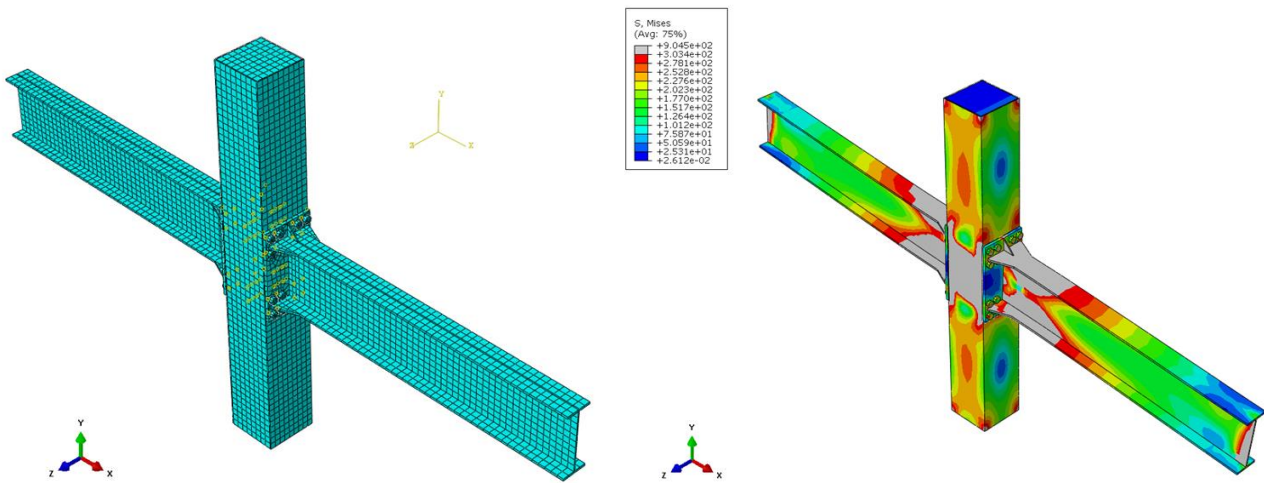
و جهت مقاومسازی اتصال به مدل اضافه شده است. در این مدل سازی‌ها ضخامت ورق ستون و ضخامت ورق ماهیچه‌ای به عنوان متغیر در نظر گرفته شده است. ضخامت ورق‌های ماهیچه‌ای ۸، ۱۲ و ۱۶ میلی‌متر و ضخامت ورق ستون ۱۰، ۱۲ و ۱۴ میلی‌متر می‌باشند. کلیه خصوصیات مصالح و سایر شرایط در نظر گرفته شده برای نمونه صحت سنگی، در این مدل سازی‌ها نیز ثابت می‌باشند.

۳- ۱- مدل شماره ۱ ($t_{col}=8\text{mm}$ و $t_{hp}=16\text{mm}$) در این مدل نحوه بارگذاری به روش کنترل تغییر مکان بوده و به ابتدای تیر اعمال شده است. در این نمونه ضخامت ورق ماهیچه‌ای (t_{hp}) برابر با ۱۶ میلی‌متر و ضخامت ورق ستون (t_{col}) برابر با ۸ میلی‌متر در نظر گرفته شده است. در شکل ۷ کانتور تنش ایجاد شده در نمونه مورد نظر بعد از بارگذاری نشان داده شده است. همان‌طور که مشاهده می‌شود بیشترین تنش ایجاد شده در نزدیکی اتصال بوده که باعث کمانش موضعی در قسمت‌هایی از بال تیر شده است. در قسمت‌هایی از جان ستون در ناحیه چشممه اتصال نیز مقدار تنش از حد تسلیم فراتر رفته و در نمونه تسلیم شدگی مشهود است. همچنین

بارگذاری)، در نمونه‌ی بارگذاری از قید Tie استفاده شده است. جهت معرفی رفتار سطوح در تماس با یکدیگر (سطح بولت عبوری با بتن، سطح مهره‌ها با سطح صفحه انتهایی، سطح صفحه انتهایی با پوشش فولادی ستون و سطح پوشش فولادی با هسته بتنی) از قید Hard Contact و برای سایر اندرکنش‌ها نیز از General Contact با ضریب اصطکاک ۰/۳ استفاده شده است [۱۰].

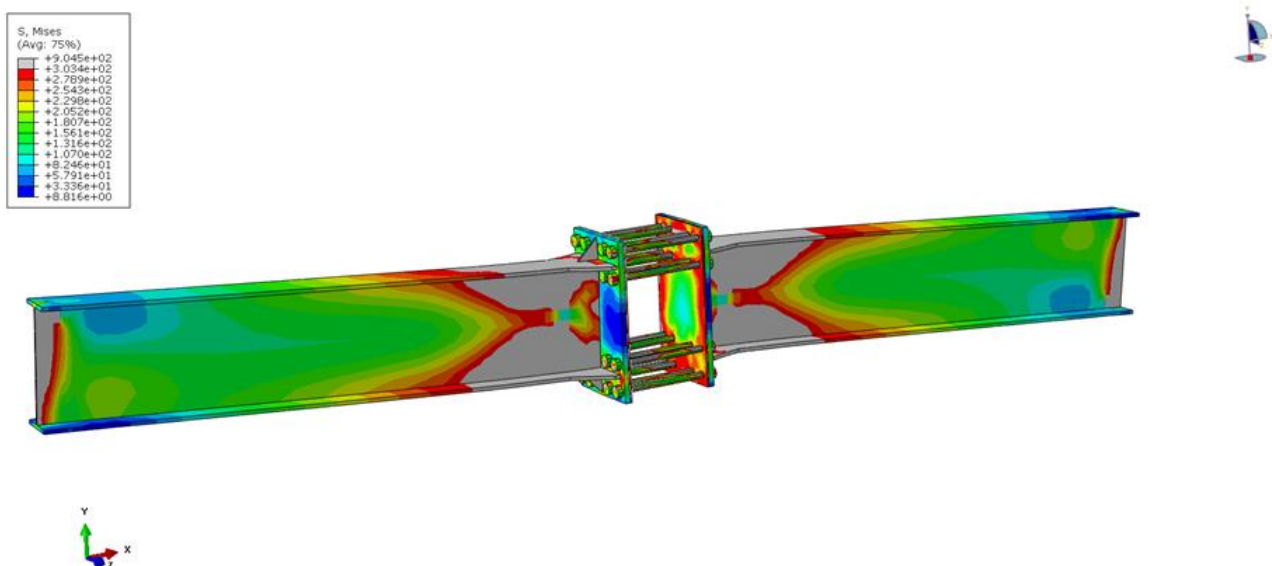
مدل مش بندی شده نهائی و تنش‌های ایجاد شده در نمونه مدل سازی شده در شکل ۳ و تنش‌های ایجاد شده در تیر و بولت‌های عبوری نیز در اشکال ۴ و ۵ نشان داده شده است. خروجی‌های استخراج شده از نرم‌افزار در نمودار نیروی برشی-دوران شکل ۶ با نمونه آزمایشگاهی مقایسه شده است. همان‌طور که مشاهده می‌شود نتایج تا حد قابل قبولی به نتایج نمونه آزمایشگاهی نزدیک است. خطابی ناچیزی که در خروجی مشاهده می‌شود مربوط به خصوصیات پیچیده بتن در حالت پلاستیک و غیرخطی می‌باشد.

۳- معرفی مدل‌های توسعه یافته و نتایج پس از اطمینان از صحت مدل سازی، ورق ماهیچه به صورت تقویتی



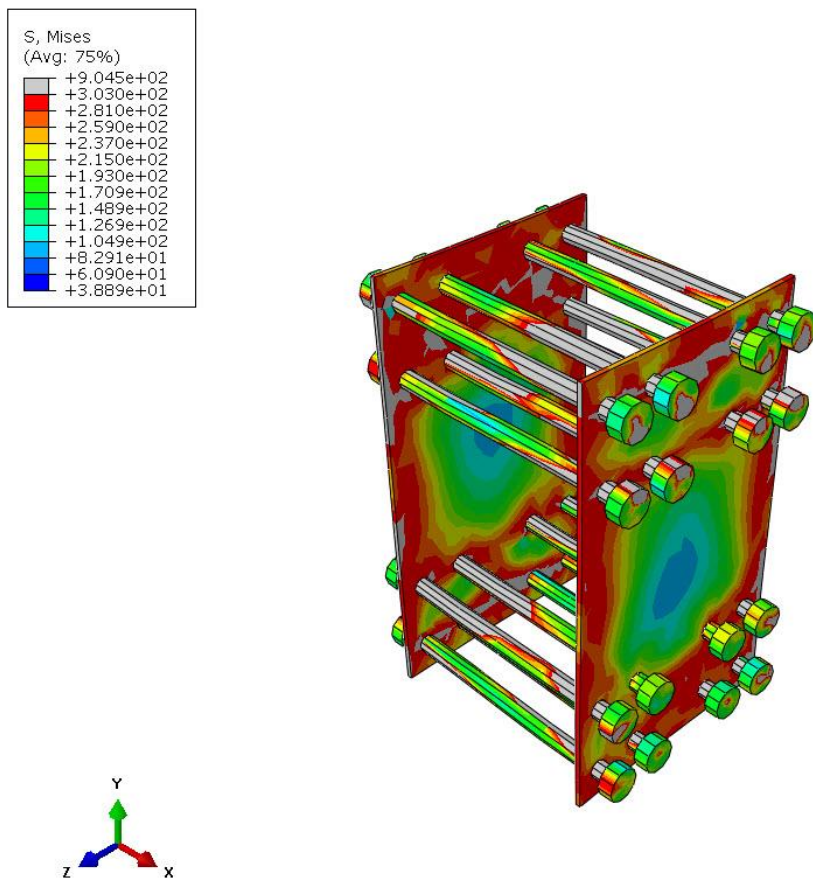
شکل ۳. مدل مسح بندی شده نهائی و تنش‌های ایجاد شده در نمونه عددی در حالت کلی

Fig. 3. The final meshed model and the stresses created in the numerical model in general



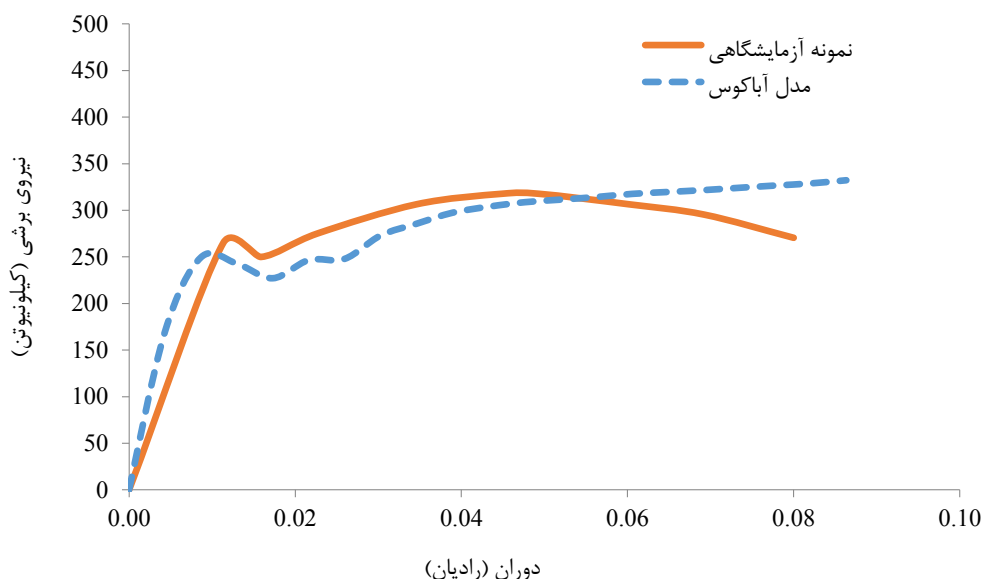
شکل ۴. تنش‌های ایجاد شده در تیر و بولت‌های عبوری نمونه عددی

Fig. 4. Stresses in beams and bidirectional bolts in numerical model



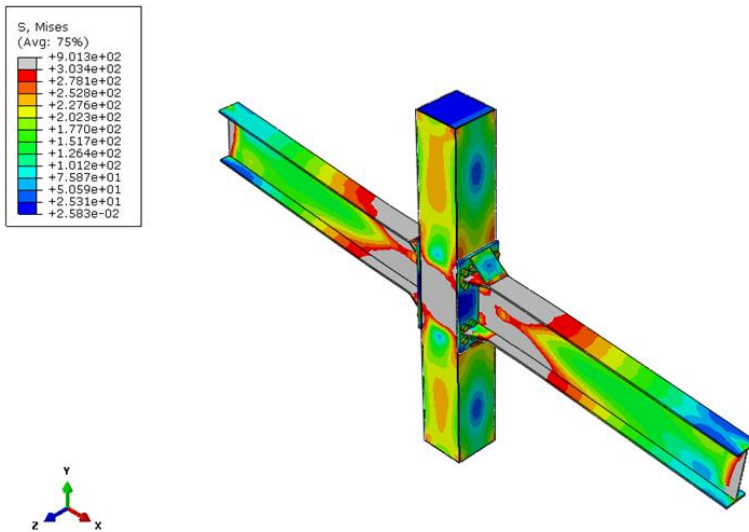
شکل ۵. تنش‌های ایجاد شده در بولت‌های عبوری

Fig. 5. Stresses in bidirectional bolts



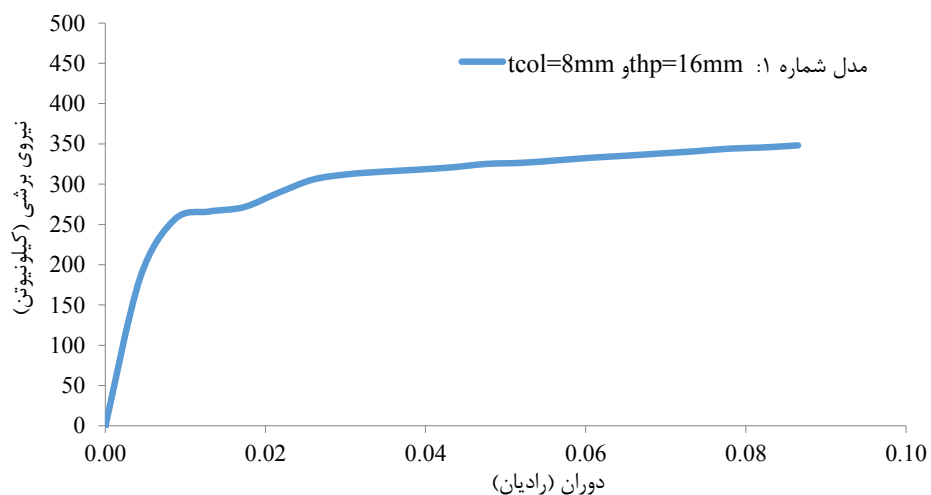
شکل ۶. مقایسه نمودار نیروی برشی-دوران نمونه آزمایشگاهی با نمونه مدل سازی شده در آباکوس

Fig. 6. Comparison of shear force-rotation curve of experimental and numerical models in Abaqus



شکل ۷. تنش‌های ایجاد شده در نمونه شماره ۱

Fig. 7. The stresses in numerical model No:1



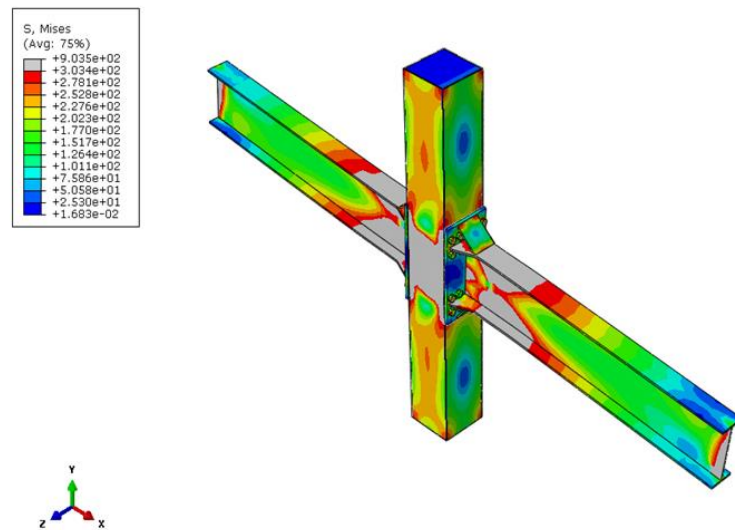
شکل ۸. منحنی نیرو-دوران نمونه شماره ۱

Fig. 8. The shear force-rotation curve of numerical model No:1

افزایش دوران‌های مختلف ادامه یافته است. همچنین از نظر عددی ماکریم نیرو، $\frac{348}{32}$ کیلونیوتن در انتهای دوران بدست آمده است.

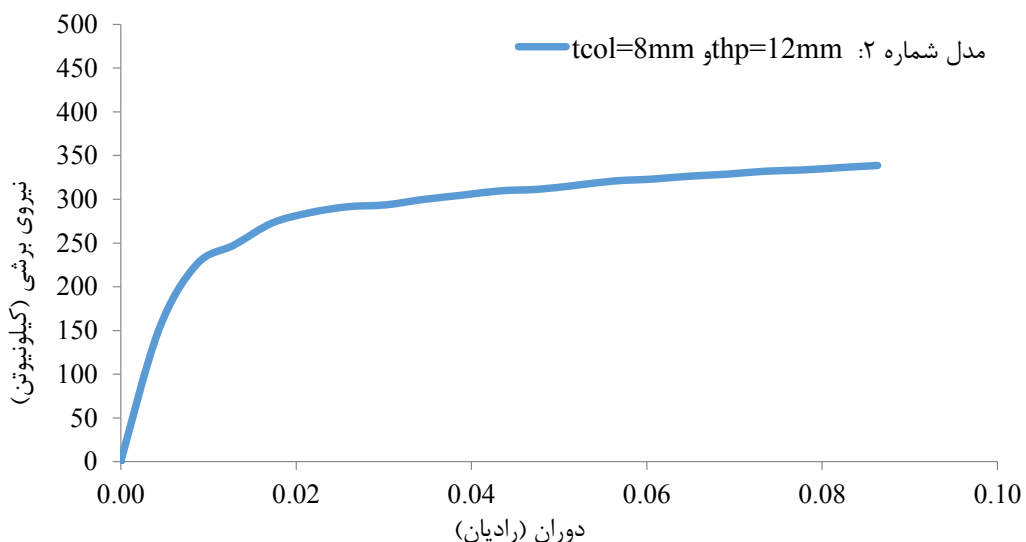
۳-۲- مدل شماره ۲ ($t_{col}=8\text{mm}$ و $t_{hp}=12\text{mm}$)
در این مدل ضخامت ورق ماهیچه‌ای (t_{hp}) برابر با ۱۲ میلی‌متر و ضخامت ورق ستون (t_{col}) برابر با ۸ میلی‌متر در نظر گرفته شده است. در

کرنش پلاستیک‌های ایجاد شده علاوه بر بال تیر در قسمت‌هایی از جان تیر نیز ایجاد شده و در ناحیه اتصال مقادیر تنش و کرنش در حد کمتر از تنش تسلیم ایجاد شده است. در شکل ۸ منحنی نیرو-دوران نمونه شماره ۱ نشان داده شده است. با توجه به این شکل مشاهده می‌شود که رفتار نمونه تقریباً پایدار و یکنواخت بوده به طوری که تقریباً تا دوران 0.025 با افزایش دوران مقدار نیرو نیز افزایش یافته و بعد از این نقطه نمودار با شیب ثابتی به ازای



شکل ۹. تنش‌های ایجاد شده در نمونه شماره ۲

Fig. 9. The stresses in numerical model No:2

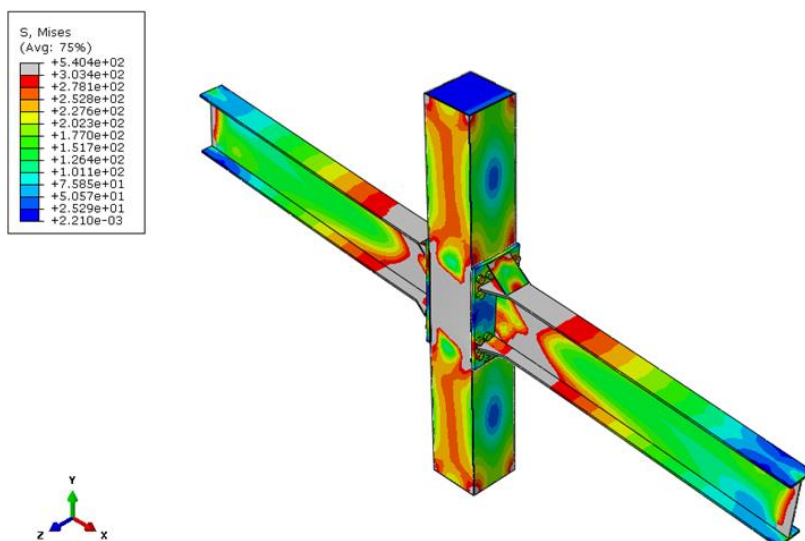


شکل ۱۰. منحنی نیرو-دوران نمونه شماره ۲

Fig. 10. The shear force-rotation curve of numerical model No:2

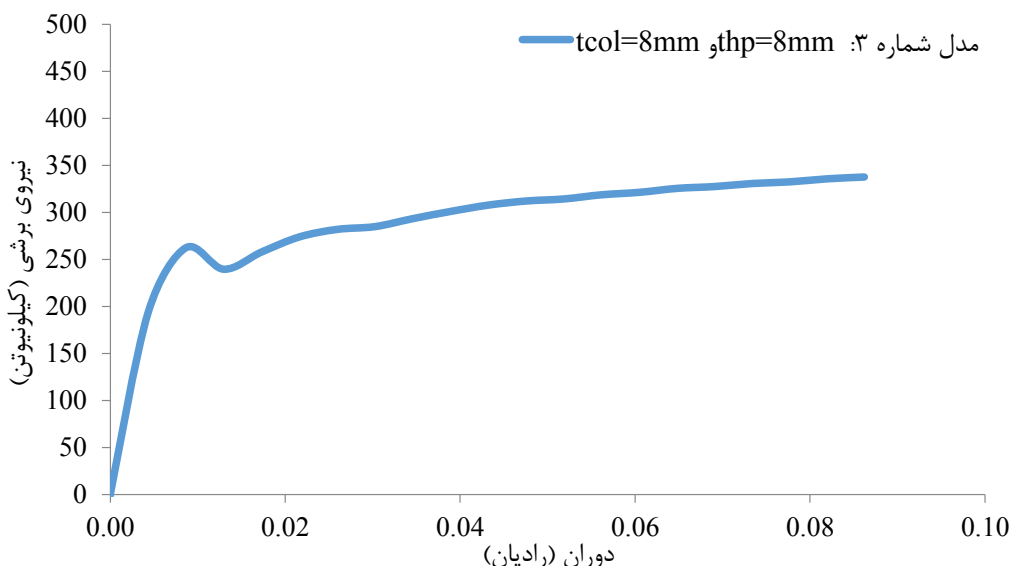
نمونه شماره ۲ نشان داده شده است. با توجه به شکل مشاهده می‌شود که رفتار نمونه تقریباً پایدار و یکنواخت بوده به طوری که تقریباً تا دوران 0.02 rad با افزایش دوران شاهد افزایش مقدار نیرو بوده و بعد از این نقطه نمودار جهت منحنی عوض شده و با شیب ثابتی به ازای افزایش دوران‌های مختلف ادامه یافته است. همچنین از نظر عددی مکریم نیرو، $338/65$ کیلونیوتون در انتهای دوران بدست آمده است.

شکل ۹ کانتور تنش ایجاد شده در نمونه مورد نظر بعد از بارگذاری نشان داده شده است. همانطور که مشاهده می‌شود بیشترین تنش ایجاد شده در نزدیکی اتصال بوده که باعث کمابی موضعی در قسمت‌هایی از بال تیر شده است. در قسمت‌هایی از جان ستون در ناحیه چشمی اتصال نیز مقدار تنش از حد تسییم فراتر رفته و در نمونه تسییم شدگی مشهود است. مکریم نیشن در این ناحیه 433 مگاپاسکال بوده است. در شکل ۱۰ منحنی نیرو-دوران



شکل ۱۱. تنش‌های ایجاد شده در نمونه شماره ۳

Fig. 11. The stresses in numerical model No:3



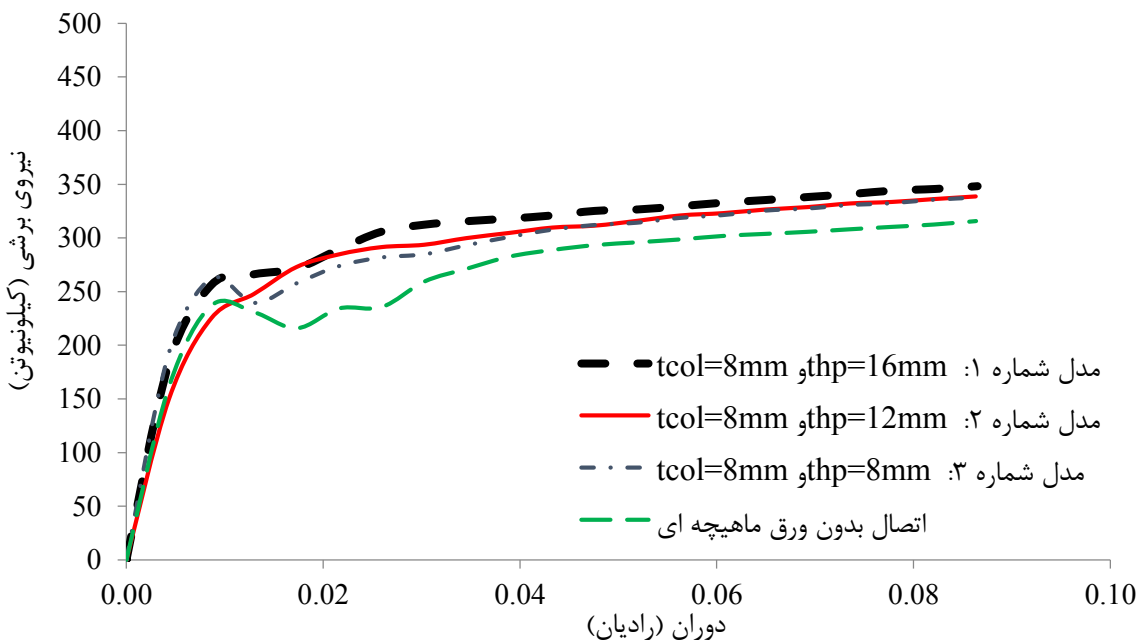
شکل ۱۲. منحنی نیرو-دوران نمونه شماره ۳

Fig. 12. The shear force-rotation curve of numerical model No:3

همچنین در لبه‌های ورق انتهایی و اتصالات شاهد کمانش‌های موضعی می‌باشیم. در شکل ۱۲ منحنی نیرو-دوران نمونه شماره ۳ نشان داده شده است. با توجه به شکل مشاهده می‌شود که منحنی با شیب کمتری شروع شده و ماکریم نیرویی که تحمل کرده است در حدود ۳۲۰ کیلونیوتن می‌باشد.

۳-۳- مدل شماره ۳ ($t_{\text{col}}=8\text{mm}$ و $t_{\text{hp}}=8\text{mm}$)

در این مدل ضخامت ورق ماهیچه‌ای (t_{hp}) برابر با ۸ میلی‌متر و ضخامت ورق ستون (t_{col}) برابر با ۸ میلی‌متر در نظر گرفته شده است. در شکل ۱۱ کانتور تنش ایجاد شده در نمونه مورد نظر بعد از بارگذاری نشان داده شده است. ماکریم تنش در این ناحیه ۴۳۵ مگاپاسکال بوده است.



شکل ۱۳. بررسی تاثیر افزایش ضخامت ورق ماهیچه‌ای در عملکرد نمونه‌های عددی

Fig. 13. Investigating the effect of increasing haunch plate thickness on the performance of numerical models

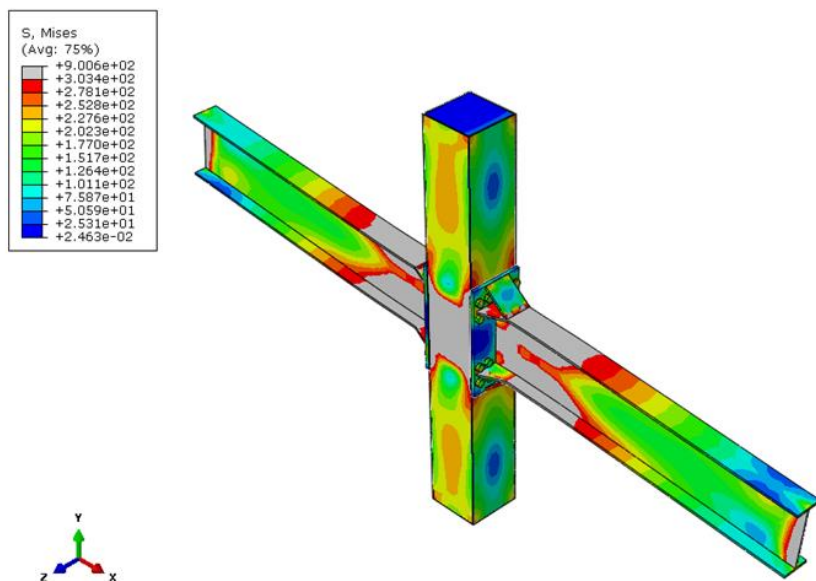
پلاستیک و کرنش‌های ماکزیمم تشکیل شده است. این در حالی است که در اغلب نمونه‌های دارای ورق ماهیچه‌ای، محل تشکیل مفصل پلاستیک در ناحیه خارج از اتصال و تقریباً در فاصله ۲۰ سانتی‌متری از بر ستون تشکیل شده است. که در واقع، علاوه بر افزایش ظرفیت باربری مشخص می‌شود که یکی از مزایای اصلی ورق ماهیچه‌ای کنترل محل مفصل پلاستیک و تشکیل آن خارج از ناحیه بحرانی می‌باشد.

۳-۴- بررسی تاثیر افزایش ضخامت ورق ماهیچه‌ای در بین مدل‌های ۱ و ۲

در شکل ۱۳ به مقایسه تاثیر افزایش ضخامت ورق ماهیچه‌ای در عملکرد نمونه‌های عددی پرداخته شده است. با بررسی ابتدای منحنی‌ها مشاهده می‌شود اغلب نمونه‌ها رفتار الاستیک مشابه داشته که به تدریج و با افزایش مقدار جابجایی و وارد شدن نمونه‌ها به فاز پلاستیک اختلاف در بین نمونه‌ها افزایش می‌یابد. از نظر عددی با افزایش ضخامت ورق، ظرفیت باربری افزایش یافته است. به طوری که نمونه با ضخامت ورق ۱۶ میلی‌متر نسبت به ضخامت‌های ۱۲ و ۸ میلی‌متر به ترتیب ۲/۴۴ درصد و ۳ درصد دارای ظرفیت باربری بیشتری می‌باشد. با مقایسه تاثیر اضافه کردن ورق ماهیچه‌ای در عملکرد نمونه‌ها مشاهده می‌شود که نمونه بدون ورق ماهیچه‌ای تقریباً در حد فاصل دوران‌های $۰/۰۱۵$ الی $۰/۰۳$ دچار کمانش قسمت بالای بال تیر ایجاد شده است. در قسمت‌هایی از جان ستون در ناحیه چشم‌های اتصال نیز مقدار تنفس از حد تسلیم فراتر رفته و در نمونه تسلیم شدگی مشهود است. در شکل ۱۵ منحنی نیرو-دوران نمونه شماره ۴ نشان داده شده است. با توجه به شکل مشاهده می‌شود که رفتار نمونه تقریباً در ناحیه

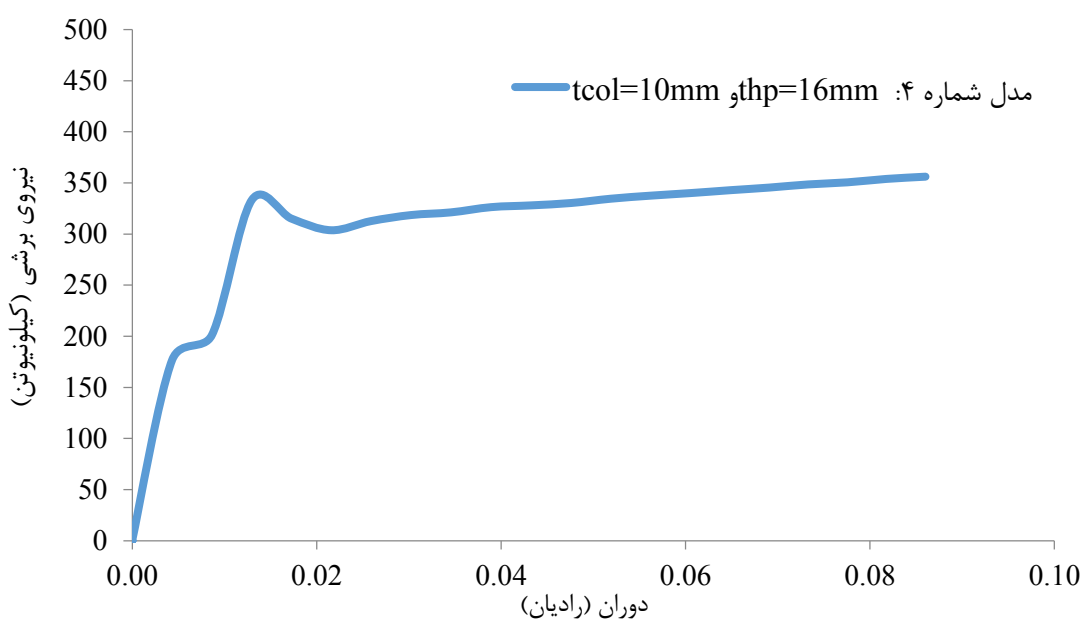
۳-۵- مدل شماره ۴ (t_{col}=10mm و t_{hp}=16mm)

در این مدل ضخامت ورق ماهیچه‌ای ۱۶ میلی‌متر و ضخامت ورق ستون ۱۰ میلی‌متر در نظر گرفته شده است. در شکل ۱۴ کانتور تنفس ایجاد شده در نمونه مورد نظر بعد از بارگذاری نشان داده شده است. همانطور که مشاهده می‌شود بیشترین تنفس ایجاد شده به مقدار ۳۷۳ مگاپاسکال و در قسمت بالای بال تیر ایجاد شده است. در قسمت‌هایی از جان ستون در ناحیه چشم‌های اتصال نیز مقدار تنفس از حد تسلیم فراتر رفته و در نمونه تسلیم شدگی مشهود است. در شکل ۱۵ منحنی نیرو-دوران نمونه شماره ۴ نشان داده شده است. با توجه به شکل مشاهده می‌شود که رفتار نمونه تقریباً در محل اتصال و بر ستون مفصل



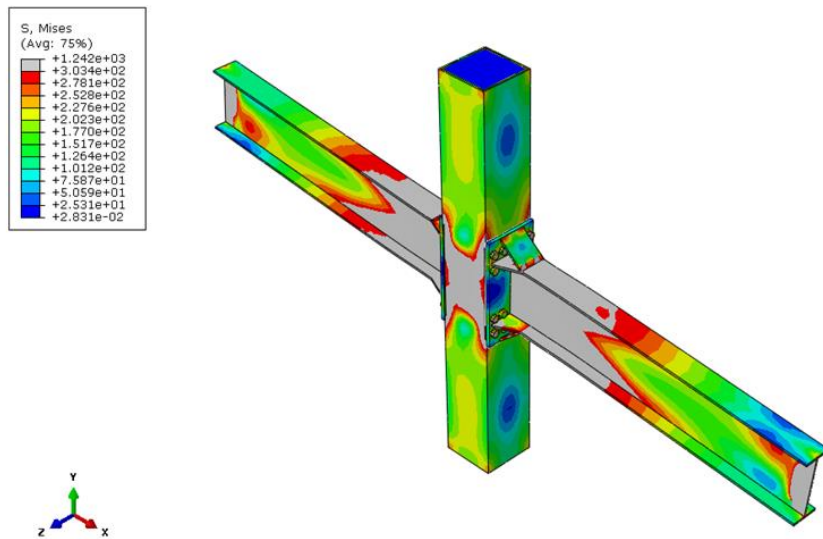
شکل ۱۴. تنش‌های ایجاد شده در نمونه شماره ۴

Fig. 14. The stresses in numerical model No:4



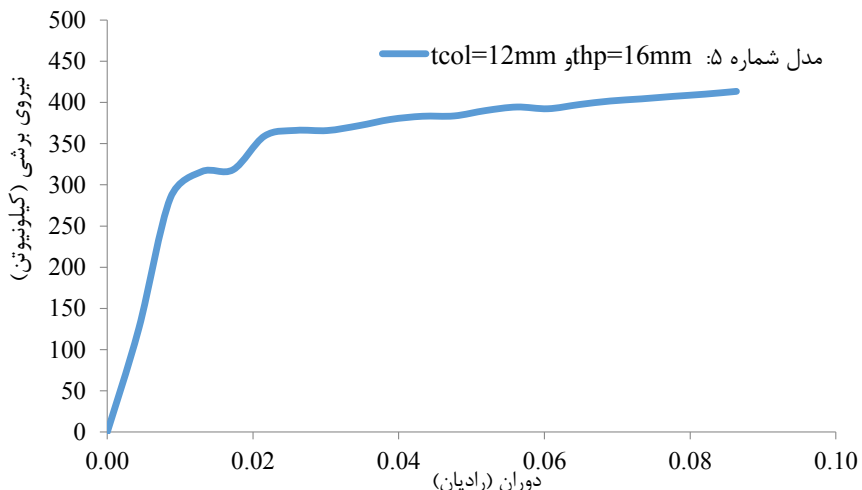
شکل ۱۵. منحنی نیرو-دوران نمونه شماره ۴

Fig. 15. The shear force-rotation curve of numerical model No:4



شکل ۱۶. تنش‌های ایجاد شده در نمونه شماره ۵

Fig. 16. The stresses in numerical model No:5



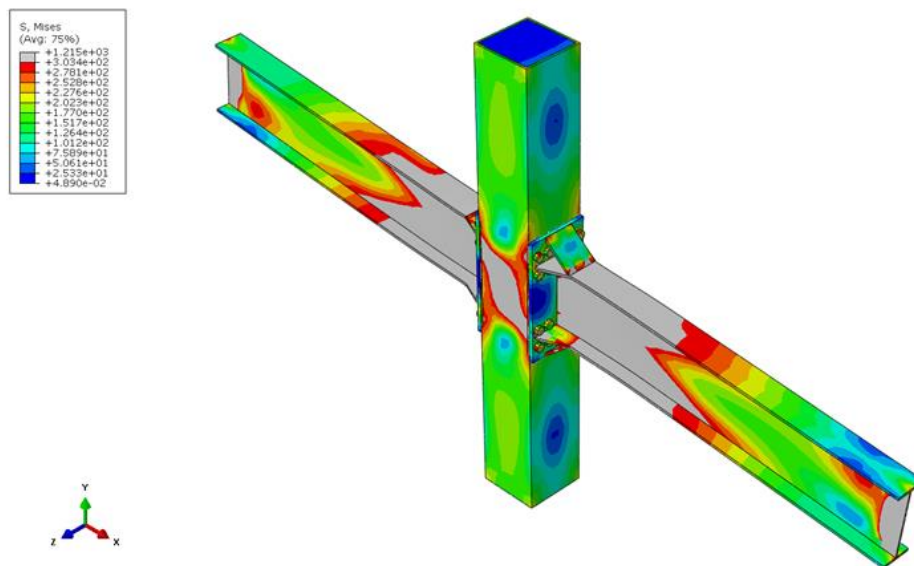
شکل ۱۷. منحنی نیرو-دوران نمونه شماره ۵

Fig. 17. The shear force-rotation curve of numerical model No:5

ستون ۱۲ میلی‌متر در نظر گرفته شده است. در شکل ۱۶ کانتور تنش ایجاد شده در نمونه مورد نظر بعد از بارگذاری نشان داده شده است. ماکریم تنش در این ناحیه ۵۱۳ مگاپاسکال بوده است. همچنین توزیع تنش در المان بتی به دلیل رفتار غیرخطی و پیچیده‌ای که بتن در بارهای کششی و فشاری از خود نشان می‌دهد به صورت غیریکنواخت بوده است. به طوری که مقادیر تنش‌های کششی و فشاری در قسمت‌های بالا و پایین محل اتصال گسترده‌گی بیشتری دارد. در شکل ۱۷ منحنی نیرو-دوران نمونه شماره ۵

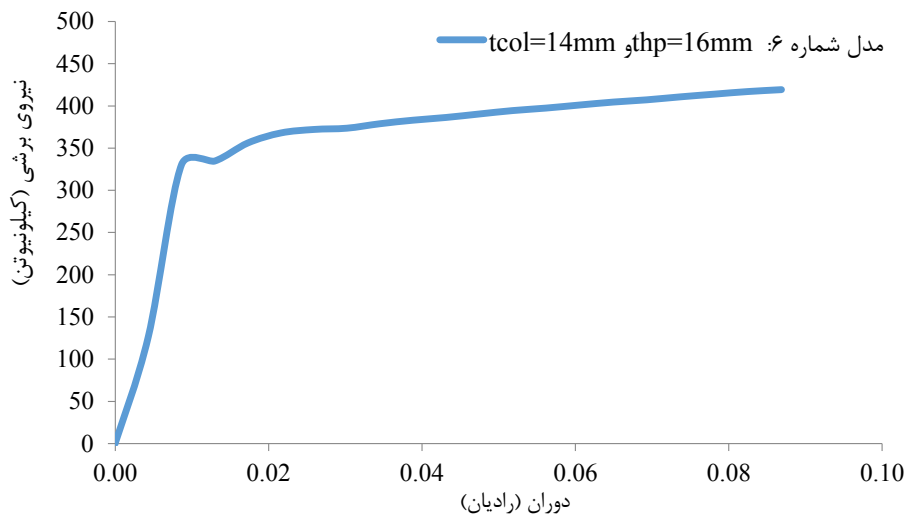
پلاستیک پایدار و یکنواخت بوده است. ولی تقریباً تا دوران ۰/۰۲۲ با افزایش دوران شاهد افت در قسمت‌هایی از منحنی به دلیل کمانش‌های موضعی ایجاد شده در بال و جان نمونه می‌باشیم. همچنین از نظر عددی ماکریم نیرو، ۳۵۵/۹۵ کیلونیوتون در انتهای دوران بدست آمده است.

۳-۶- مدل شماره ۵ ($t_{col}=12\text{mm}$ و $t_{hp}=16\text{mm}$) در این مدل ضخامت ورق ماهیچه‌ای ۱۶ میلی‌متر و ضخامت ورق



شکل ۱۸. تنش‌های ایجاد شده در نمونه شماره ۶

Fig. 18. The stresses in numerical model No:6



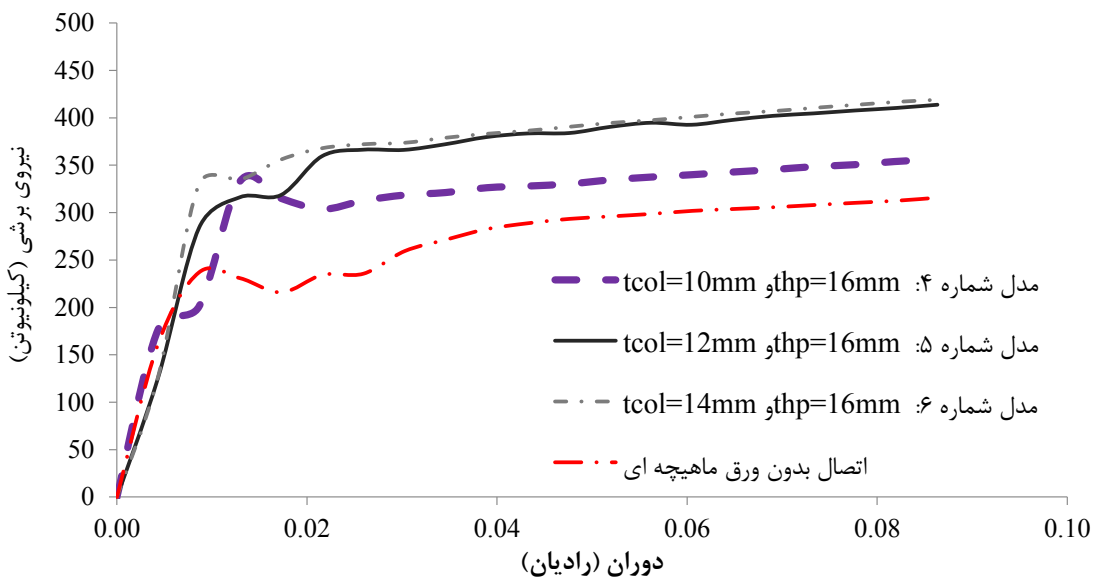
شکل ۱۹. منحنی نیرو-دوران نمونه شماره ۶

Fig. 19. The shear force-rotation curve of numerical model No:6

($t_{col}=14\text{mm}$ و $t_{hp}=16\text{mm}$) مدل شماره ۶

در این نمونه نیز خصامت ورق ماهیچه‌ای ۱۶ میلی‌متر و خصامت ورق ستون ۱۴ میلی‌متر در نظر گرفته شده است. در شکل ۱۸ کانتور تنش ایجاد شده در نمونه مورد نظر بعد از بارگذاری نشان داده شده است. ماکریم تنش در این ناحیه ۴۱۲ مگاپاسکال بوده است. در شکل ۱۹ منحنی نیرو-دوران نمونه شماره ۶ نشان داده شده است. با توجه به شکل مشاهده می‌شود که رفتار نمونه تقریباً

پایدار و یکنواخت بوده به طوری که تقریباً تا دوران 0.02 با افزایش دوران شاهد افزایش مقدار نیرو بوده و بعد از این نقطه نمودار جهت منحنی عوض شده و با شیب ثابتی به ازای افزایش دوران‌های مختلف ادامه یافته است. همچنین از نظر عددی ماکریم نیرو، $413/6$ کیلونیوتن در انتهای دوران بدست آمده است.



شکل ۲۰. بررسی تاثیر افزایش ضخامت ورق ستون در عملکرد نمونه های عددی

Fig. 20. Investigating the effect of increasing column plate thickness on the performance of numerical models

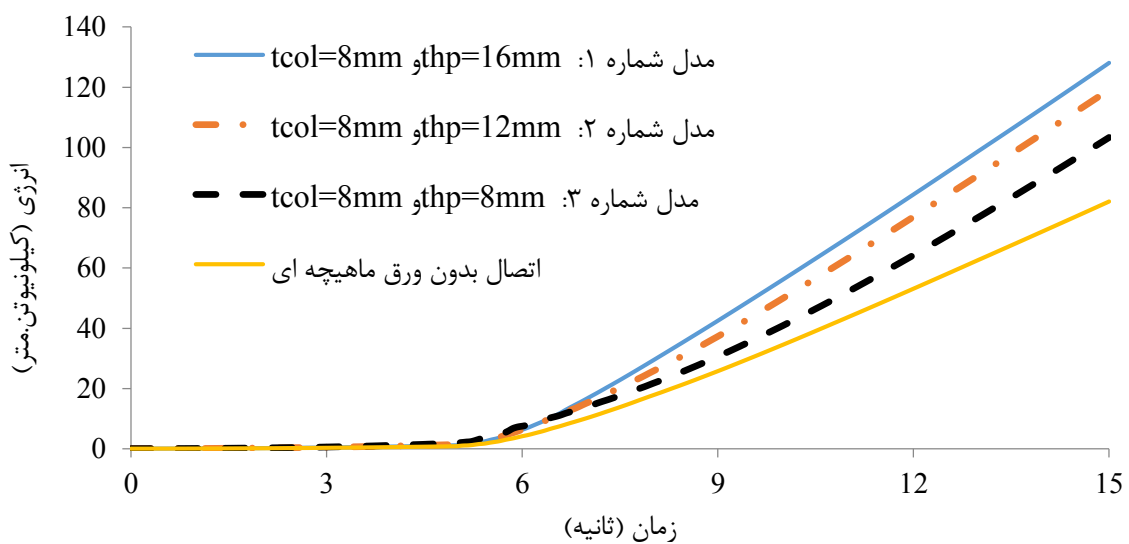
تقریباً در حدفاصل دوران‌های $0/0\text{--}0/015$ دچار کمانش موضعی شده است. به طور متوسط در صورت استفاده از ورق ستون با ضخامت زیاد نسبت به نمونه بدون ورق ماهیچه‌ای ظرفیت برابری $20/7$ درصد افزایش یافته است. همچنین با بررسی تشکیل موقعیت مفصل پلاستیک می‌توان گفت که در نمونه بدون ورق ماهیچه‌ای تقریباً در محل اتصال و بر ستون مفصل پلاستیک و کرنش‌های ماکریتم تشکیل شده است. این در حالی است که در اغلب نمونه‌های دارای ورق ماهیچه‌ای، با افزایش ضخامت ورق ستون محل تشکیل مفصل پلاستیک در بر ستون تشکیل شده است.

۴- مقایسه کلی نتایج

در شکل ۲۱ به مقایسه مقادیر جذب انرژی نمونه‌هایی پرداخته شده است که در آن‌ها متغیر ضخامت ورق ماهیچه‌ای در نظر گرفته شده است. همانطور که مشاهده می‌شود تاثیر ورق ماهیچه‌ای و افزایش ضخامت آن در جذب انرژی کاملاً مشهود بوده و افزایش یافته است. از نظر عددی با افزایش ضخامت ورق از 8 به 12 و 16 میلی‌متر به ترتیب جذب انرژی $13/4$ درصد 7 درصد افزایش یافته است. همچنین در صورت مقایسه نمونه‌های دارای ورق ماهیچه‌ای با نمونه بدون ورق، به طور متوسط مقدار انرژی جذب شده $22/62$ درصد افزایش یافته است. در شکل ۲۲ نیز به مقایسه تاثیر افزایش ضخامت ورق ستون در مقادیر جذب انرژی پرداخته شده است. همانطور که

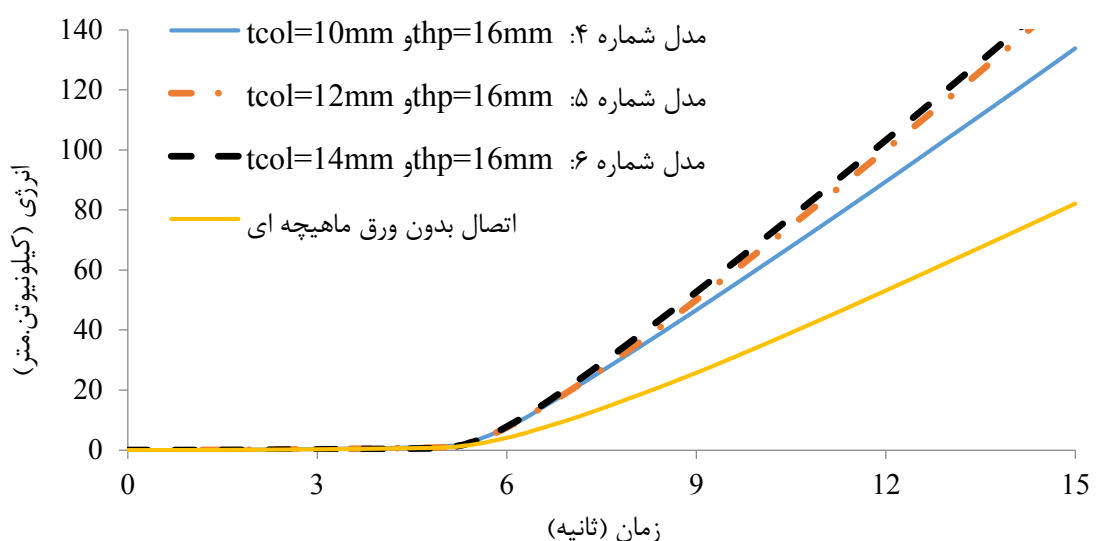
رفتار نمونه تقریباً پایدار و یکنواخت بوده به طوری که تقریباً تا دوران $0/015$ با افزایش دوران شاهد افزایش مقدار نیرو بوده و بعد از این نقطه نمودار جهت منحنی عوض شده و با شبیث ثابتی به ازای افزایش دوران‌های مختلف ادامه یافته است. همچنین از نظر عددی ماکریتم نیرو، $419/4$ کیلونیوتون در انتهای دوران بدست آمده است.

۳-۸- بررسی تاثیر افزایش ضخامت ورق ستون در بین مدل‌های ۴ و ۵ و ۶ در شکل ۲۰ به مقایسه تاثیر افزایش ضخامت ورق ستون در عملکرد نمونه‌های عددی پرداخته شده است. با بررسی ابتدای منحنی‌ها مشاهده می‌شود اغلب نمونه‌ها رفتار الاستیک مشابه داشته که به تدریج و با افزایش مقدار جابجایی و وارد شدن نمونه‌ها به فاز پلاستیک شاهد افزایش اختلاف در بین نمونه‌ها هستیم. از نظر عددی با افزایش ضخامت ورق ظرفیت برابری افزایش یافته است. به طوری که نمونه با ضخامت ورق 14 میلی‌متر نسبت به ضخامت‌های 12 و 10 میلی‌متر به ترتیب $138/1$ درصد و $12/15$ درصد دارای ظرفیت برابری بیشتری می‌باشد. این در حالی می‌باشد که افزایش ضخامت ورق ستون تا حدودی تاثیرگذار بوده و در ضخامت‌های بالاتر تقریباً به ازای افزایش ضخامت زیاد تغییرات در ظرفیت برابری کمتر ایجاد می‌شود. در صورت مقایسه تاثیر افزایش ضخامت ورق ستون در عملکرد نمونه‌ها مشاهده می‌شود که نمونه بدون ورق ماهیچه‌ای



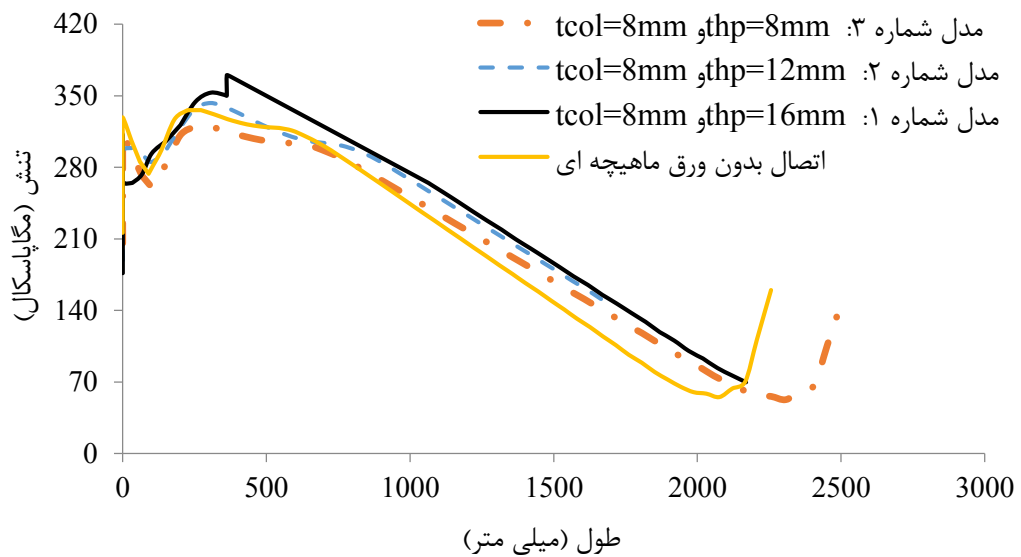
شکل ۲۱. مقایسه جذب انرژی نمونه‌های عددی با ضخامت ورق ماهیچه‌ای مختلف

Fig. 21. Comparison of energy absorption of numerical models with different haunch plate thickness



شکل ۲۲. مقایسه جذب انرژی نمونه‌های عددی با ضخامت ورق ستون مختلف

Fig. 22. Comparison of energy absorption of numerical models with different column plate thickness



شکل ۲۳. مقایسه تنش‌های ایجاد شده در نمونه‌های عددی با ضخامت ورق ماهیچه‌ای مختلف

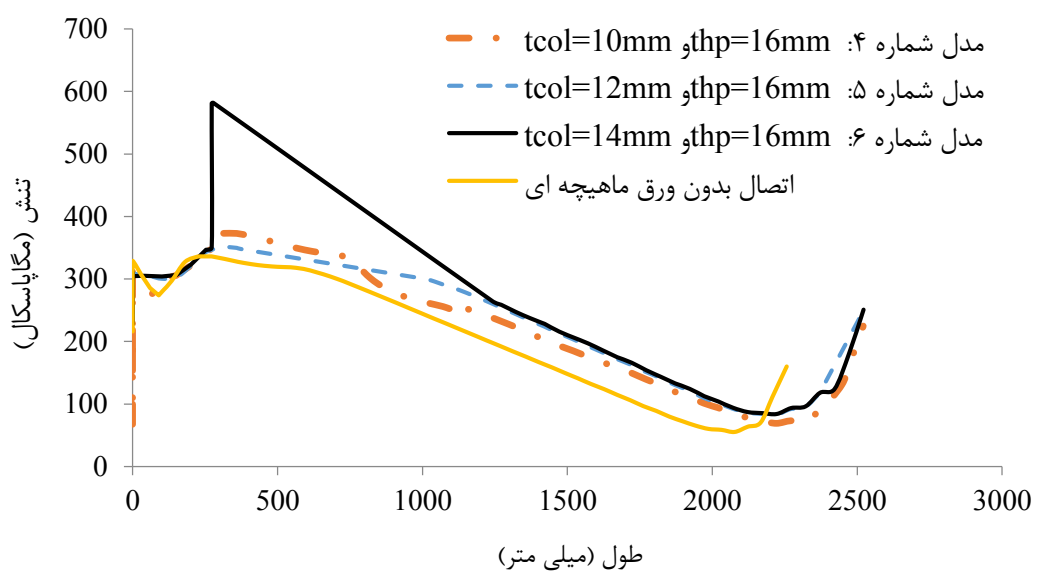
Fig. 23. Comparison of stresses created in numerical models with different haunch plate thicknesses

متغیر ضخامت بال ستون پرداخته شده است. همانطور که مشاهده می‌شود نمونه با ضخامت ورق ۱۴ میلی‌متر در فاصله تقریباً ۵۰ سانتی‌متری از بر ستون به صورت موضعی دارای تنش بیشتری از تنش تسليم می‌باشد. در شکل ۲۵ به مقایسه مقادیر کرنش‌های توزیع شده در نمونه‌هایی پرداخته شده است که در آن‌ها متغیر، ضخامت ورق ماهیچه‌ای در نظر گرفته شده است. همانطور که مشاهده می‌شود تاثیر ورق ماهیچه‌ای و افزایش ضخامت آن در ایجاد کرنش پلاستیک تجمعی کاملاً مشهود بوده است. همانطور که مشاهده می‌شود تقریباً در فاصله ۲۰ الی ۵۰ سانتی‌متر از بر ستون مقادیر کرنش پلاستیک دارای شدت بیشتری بوده به طوری که نمونه بدون ورق ماهیچه‌ای دارای کرنش بیشتری نسبت به نمونه‌های دارای ورق ماهیچه‌ای دارد. در شکل ۲۶ به مقایسه مقادیر کرنش‌های توزیع شده در نمونه‌هایی پرداخته شده است که در آن‌ها متغیر، ضخامت ورق ستون در نظر گرفته شده است. همانطور که مشاهده می‌شود تاثیر افزایش ضخامت ورق ستون در ایجاد کرنش پلاستیک تجمعی تقریباً در اغلب نمونه‌ها یکسان بوده است. در این نمونه‌ها نیز همانطور که مشاهده می‌شود تقریباً در فاصله ۲۰ الی ۵۰ سانتی‌متر از بر ستون مقادیر کرنش پلاستیک دارای شدت بیشتری بوده است.

مشاهده می‌شود تقریباً در ضخامت‌های بالاتر مقدار جذب انرژی تقریباً ثابت مانده است. همچنین با مقایسه شکل ۲۱ و ۲۲ مشخص می‌شود که افزایش ضخامت ورق ستون در اتصال تقویت شده تاثیر بیشتری در جذب انرژی نسبت به افزایش ضخامت ورق ماهیچه‌ای دارد و با افزایش ضخامت ورق ستون نیز عملکرد مطلوب‌تری حاصل می‌شود.

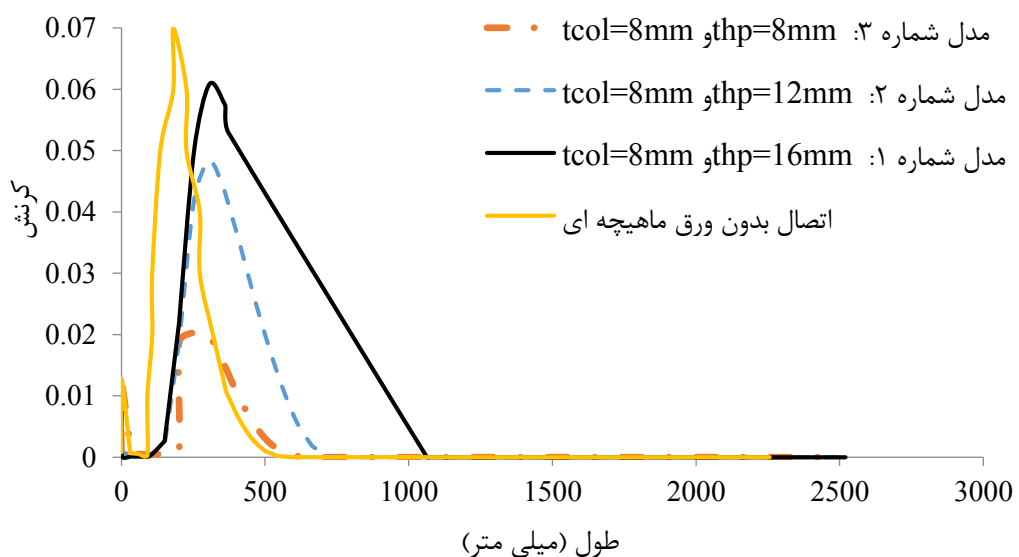
از نظر عددی نمونه با ضخامت ورق ستون ۱۴ میلی‌متر نسبت به ضخامت‌های ۱۲ و ۱۰ میلی‌متر به ترتیب تقریباً ۱ درصد و $14/4$ درصد دارای جذب انرژی بیشتری می‌باشد. همچنین در صورت مقایسه تاثیر افزایش ضخامت ورق ستون در نمونه‌های دارای ورق ماهیچه‌ای با نمونه بدون ورق مشاهده می‌شود که با افزایش ضخامت ورق ستون به طور متوسط مقدار جذب انرژی $93/7$ درصد افزایش یافته است.

در شکل ۲۳ به مقایسه توزیع تنش در بال بالایی تیر سمت راست نمونه‌های با متغیر ضخامت ورق ماهیچه‌ای پرداخته شده است. همانطور که مشاهده می‌شود با افزایش ضخامت ورق مقدار تنش افزایش یافته است. همچنین بیشترین تنش ایجاد شده در فاصله تقریباً ۲۰ الی ۵۰ سانتی‌متری از بر ستون ایجاد شده است که با دور شدن از محل اتصال از شدت تنش‌ها کاسته شده است. در شکل ۲۴ نیز به مقایسه توزیع تنش در نمونه‌هایی با



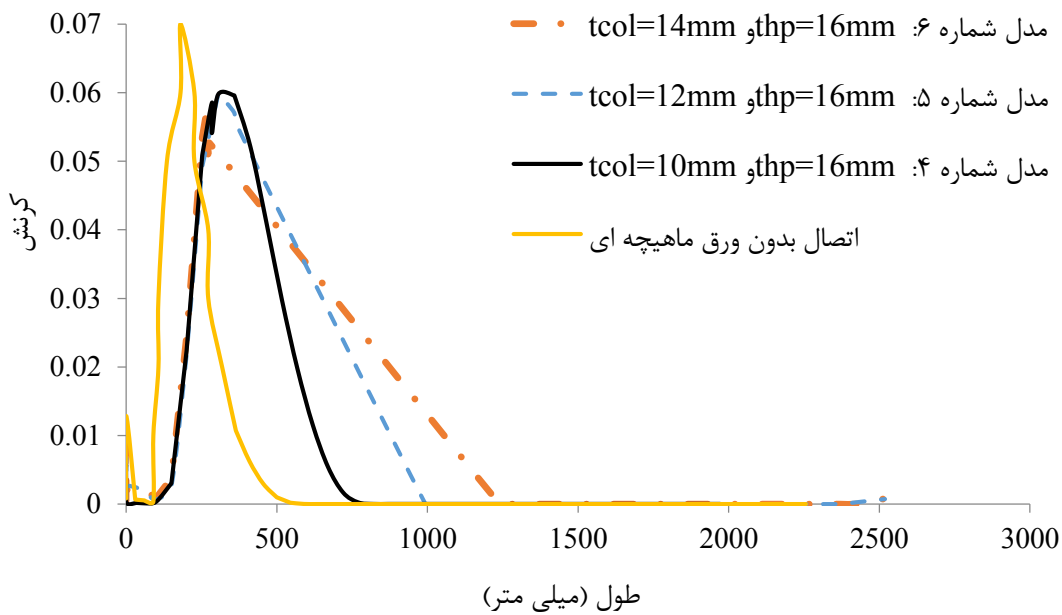
شکل ۲۴. مقایسه تنش‌های ایجاد شده در نمونه‌های عددی با ضخامت ورق ستون مختلف

Fig. 24. Comparison of stresses created in numerical models with different column plate thicknesses



شکل ۲۵. مقایسه کرنش‌های ایجاد شده در نمونه‌های عددی با ضخامت ورق ماهیچه‌ای مختلف

Fig. 25. Comparison of strain created in numerical models with different haunch plate thicknesses



شکل ۲۶. مقایسه کرنش‌های ایجاد شده در نمونه‌های عددی با ضخامت ورق ستون مختلف

Fig. 26. Comparison of strain created in numerical models with different column plate thicknesses

۵- نتیجه‌گیری

اتصال و تقریباً در فاصله ۲۰ سانتی‌متری از بر ستون تشکیل شده است.
 ۳- با مقایسه تاثیر افزایش ضخامت ورق ستون در عملکرد نمونه‌ها مشاهده می‌شود که نمونه بدون ورق ماهیچه‌ای تقریباً در حد فاصل دوران‌های $0/0.15$ الی $0/0.3$ رادیان دچار کمانش موضعی شده است.
 ۴- از نظر عددی با افزایش ضخامت ورق ماهیچه‌ای از ۸ به ۱۲ و ۱۶ میلی‌متر به ترتیب جذب انرژی $13/4$ درصد و ۷ درصد افزایش یافته است. در صورت مقایسه نمونه‌های دارای ورق ماهیچه‌ای با نمونه بدون ورق، به طور متوسط مقدار انرژی جذب شده $22/62$ درصد افزایش یافته است.
 ۵- از نظر عددی نمونه با ضخامت ورق ستون ۱۴ میلی‌متر نسبت به ضخامت‌های ۱۲ و ۱۰ میلی‌متر به ترتیب تقریباً ۱ درصد و $14/4$ درصد دارای جذب انرژی بیشتری بوده و این در حالی است که در صورت مقایسه تاثیر افزایش ضخامت ورق ستون در نمونه‌های دارای ورق ماهیچه‌ای با نمونه بدون ورق مشاهده می‌شود که با افزایش ضخامت ورق ستون به طور متوسط مقدار جذب انرژی $93/7$ درصد افزایش یافته است.

۶- تاثیر ورق ماهیچه‌ای و افزایش ضخامت آن در ایجاد کرنش پلاستیک کاملاً مشهود بوده و تقریباً در فاصله ۲۰ الی ۵۰ سانتی‌متر از بر ستون مقادیر کرنش پلاستیک دارای شدت بیشتری بوده به طوری که نمونه

در این تحقیق به بررسی تاثیر استفاده از ورق ماهیچه‌ای تقویتی در اتصالات تیر فولادی به ستون‌های پر شده از بتن از نوع بولت‌های عبوری در قالب متغیرهای ضخامت ورق ماهیچه‌ای و ضخامت ورق ستون پرداخته شده است. هدف اصلی از این متغیرها بدست آوردن میزان تاثیر گذاری ورق ماهیچه‌ای در میزان تنش، کرنش، جذب انرژی و ظرفیت باربری نمونه‌ها می‌باشد. بعد از بررسی متغیرهای مورد نظر نتایج بدست آمده به شرح ذیل می‌باشد:

۱- از نظر عددی با افزایش ضخامت ورق ماهیچه‌ای ظرفیت باربری اتصال افزایش یافته است. به طوری که نمونه نمونه شماره ۱ با ضخامت ورق ۱۶ میلی‌متر نسبت به نمونه‌های ۲ و ۳ با ورق در ضخامت‌های ۱۲ و ۸ میلی‌متر به ترتیب $2/44$ درصد و ۳ درصد دارای ظرفیت باربری بیشتری می‌باشد.

۲- با بررسی تشکیل موقعیت مفصل پلاستیک می‌توان گفت که در نمونه بدون ورق ماهیچه‌ای تقریباً در محل اتصال و بر ستون مفصل پلاستیک و کرنش‌های ماکریتم تشکیل شده، این در حالی است که در اغلب نمونه‌های دارای ورق ماهیچه‌ای، محل تشکیل مفصل پلاستیک در ناحیه خارج از

[5] Gross, J. L., 2001, AISC Design Guide No. 12 Modification of Existing Welded Steel Moment Frame Connections for Seismic Resistance, North American Steel Constrction Conference; 2001.

[6] C.A. Cornell, F. Jalayer, O. Hamburger Ronald, A. Foutch Douglas, Probabilistic basis for 2000 SAC federal emergency management agency steel moment frame guidelines, Journal of Structural Engineering, 128(4) (2002) 526-533.

[7] O. Rezaifar, A. Younesi, Experimental study discussion of the seismic behavior on new types of internal/ external stiffeners in rigid beam-to-CFST/HSS column connections, Construction and Building Materials, 136 (2017) 574-589.

[8] J. Beutel, D. Thambiratnam, N. Perera, Cyclic behaviour of concrete filled steel tubular column to steel beam connections, Engineering Structures, 24(1) (2002) 29-38.

[9] L.-Y. Wu, L.-L. Chung, S.-F. Tsai, C.-F. Lu, G.-L. Huang, Seismic behavior of bidirectional bolted connections for CFT columns and H-beams, Engineering Structures, 29(3) (2007) 395-407

[10] L.-Y. Wu, L.-L. Chung, S.-F. Tsai, T.-J. Shen, G.-L. Huang, Seismic behavior of bolted beam-to-column connections for concrete filled steel tube, Journal of Constructional Steel Research, 61(10) (2005) 1387-1410.

[11] J.-F. Wang, L.-H. Han, B. Uy, Behaviour of flush end plate joints to concrete-filled steel tubular columns, Journal of Constructional Steel Research, 65(4) (2009) 925-939.

[12] J. Wang, L. Chen, Experimental investigation of extended end plate joints to concrete-filled steel tubular columns, Journal of Constructional Steel Research, 79 (2012) 56-70.

[13] Y. Qin, Z. Chen, and X. Wang, Experimental investigation of new internal-diaphragm connections to CFT columnsu cyclic loading, Journal of Constructional Steel Research, 98 (2014) 35-44.

[14] Y. Yu, Z. Chen, X. Wang, Effect of column flange flexibility on WF-beam to rectangular CFT column connections, Journal of Constructional Steel Research, 106 (2015) 184-197.

بدون ورق ماهیچه‌ای دارای کرنش بیشتری نسبت به نمونه‌های دارای ورق ماهیچه‌ای دارد.

۷-افزایش ضخامت ورق ستون در اتصال تقویت شده تاثیر بیشتری در افزایش ظرفیت باربری و جذب انرژی نسبت به افزایش ضخامت ورق ماهیچه‌ای دارد و با افزایش ضخامت ورق ستون نیز عملکرد مطلوب‌تری حاصل می‌شود.

به طور کلی می‌توان گفت که در صورت استفاده از ورق ماهیچه‌ای عملکرد اتصال مورد نظر بهبود یافته و در صورت استفاده از ورق با ضخامت بالاتر (۱۶ میلی‌متر) به همراه افزایش ورق ستون موجب بهینه‌تر شدن و افزایش ظرفیت خمی اتصال می‌شود. همچنین به منظور کاهش خسارات اتصالات خمی و انتقال مفصل پلاستیک، اتصال ماهیچه‌ای یکی از بهترین روش‌های تقویت می‌باشد. با تقویت موضعی اتصال، کاهش سطح تنفس و انتقال مفصل پلاستیک تیر به بیرون از ناحیه ماهیچه‌ای، جذب انرژی اتصال و استهلاک انرژی نیز افزایش می‌یابد.

بدیهی است که انجام مطالعات عددی و علی الخصوص آزمایشگاهی در این زمینه می‌تواند کمک شایانی به ادامه این موضوع و تکمیل نمودن و ارائه روابط ریاضی دقیقی شود.

منابع

- [1] M.Banazadeh, H. Parvini Sani, M. Gholhaki, Decision-making analysis for seismic retrofit based on risk management, Asian Journal of Civil Engineering, 14(5) (2013) 735-746.
- [2] H. Parvini Sani, M. Gholhaki, M. Banazadeh, Simplified direct loss measure for seismic isolated steel moment-resisting structures, Journal of Constructional Steel Research, 147 (2018) 313–323. [3] H. Parvini Sani, M. Gholhaki, M. Banazadeh, Seismic performance assessment of isolated low-rise steel structures based on loss estimation, Journal of Performance of Constructed Facilities, 31(4) (2017) 04017028-1:9.
- [4] D.Zhang, J. Zhao, Y.Zhang, Experimental and numerical investigation of concrete-filled double-skin steel tubular column for steel beam joints, Advances in Materials Science and Engineering, Special issue: Sustainable Building Materials and Technologies, 2018 (2018) 6514025.

- moment-rotation relation for steel beam to CFST column connections with bidirectional bolts, *Engineering Structures*, 196 (2019) 109374.
- [22] A. Parvari, S.M. Zahrai, S.M. Mirhosseini, E. Zeighami, Numerical and experimental study on the behavior of drilled flange steel beam to CFT column connections, *Structures*, 28 (2020) 726-740.
- [23] X.T. Wang, C.D. Xie, Y. Luo, J.P. Zhang, Experimental and analytical investigation on post-tensioned beam-to-CFST column connection using wedge-shaped devices, *Journal of Constructional Steel Research*, 169 (2020) 106052.
- [24] Y.F. Li, S.H. Chen, K.C. Chang, K.Y. Liu, A constitutive model of concrete confined by steel reinforcements and steel jackets, *Canadian Journal of Civil Engineering*, 32(1) (2005) 279-288.
- [25] L.-H. Han, W. Li, R. Bjorhovde, Developments and advanced applications of concrete-filled steel tubular (CFST) structures: Members, *Journal of Constructional Steel Research*, 100 (2014) 211-228.
- [26] Y. Qin, Z. Chen, Q. Yang, K. Shang, Experimental seismic behavior of through-diaphragm connections to concrete-filled rectangular steel tubular columns, *Journal of Constructional Steel Research*, 93 (2014) 32-43.
- [15] Y.-F. Yang, C. Hou, C.-Y. Meng, L.-H. Han, Investigation on square concrete filled double-skin steel tube (CFDST) subjected to local bearing force: Experiments, *Thin-Walled Structures*, 94 (2015) 394-409.
- [16] J. Wang, N. Zhang, S. Guo, Experimental and numerical analysis of blind bolted moment joints to CFTST columns, *Thin-Walled Structures*, 109 (2016) 185-201.
- [17] M. Zeinizadeh Jeddi, N.H. Ramli Sulong, Pull-out performance of a novel anchor blind bolt (tubebolt) for beam to concrete-filled tubular (CFT) column bolted connections, *Thin-Walled Structures*, 124 (2018) 402–414.
- [18] M.M. Ahmadi, S.R. Mirghaderi, Experimental studies on through-plate moment connection for beam to HSS/CFT column, *Journal of Constructional Steel Research*, 161 (2019) 154-170.
- [19] N. Fanaie, H.S. Moghadam, Experimental study of rigid connection of drilled beam to CFT column with external stiffeners, *Journal of Constructional Steel Research*, 153 (2019) 209-221.
- [20] X. Li, T. Zhou, J. Li, X.-B. Kuang, Y.-W. Zhao, Seismic behavior of encased CFT column base connections, *Engineering Structures*, 182 (2019) 363-378.
- [21] G. Zhou, Y. An, D. Li, J. Qu, Analytical model of

چگونه به این مقاله ارجاع دهیم

Kh. Ghanbari Soumeha, H. Parvini Sani, Investigation of the effects of Retrofitting the Connection of Steel Beam to Concrete-Filled Steel Tube Column with Bidirectional Bolts by Haunch plates, Amirkabir J. Civil Eng., 54(3) (2022) 885-906.

DOI: [10.22060/ceej.2021.19137.7082](https://doi.org/10.22060/ceej.2021.19137.7082)



